

ارزیابی عملکرد آسفالت گرم ساخته شده با خرده آسفالت و مسلح شده با الیاف پارافایبر

حسن زیاری^۱، حسن دیواندری^{۲*}، مهدی اروئی^۱

۱- دانشکده مهندسی عمران، دانشگاه علم و صنعت ایران، تهران، ایران.

۲- گروه عمران، واحد نوشهر، دانشگاه آزاد اسلامی، نوشهر، ایران.

تاریخچه داوری:
 دریافت: ۱۳۹۸/۰۴/۲۰
 بازنگری: ۱۳۹۸/۰۷/۱۰
 پذیرش: ۱۳۹۸/۰۸/۰۲
 ارائه آنلاین: ۱۳۹۸/۰۸/۱۱

کلمات کلیدی:
 بازیافت آسفالت
 عملکرد آسفالت گرم
 خرده آسفالت
 افزودنی پارافایبر
 کائوواکس

خلاصه: بازیافت آسفالت یکی از راهکارهای افزایش کارآمدی بودجه و سرمایه موجود در زمینه نگهداری و بهسازی شبکه راهها بوده و همچنین موجب حفظ منابع طبیعی و صرفه جویی در هزینه‌ها می‌شود. اما در فرآیند تولید آسفالت داغ با استفاده از مصالح خرده آسفالت، درجه حرارت بالا موجب سخت‌تر شدن قیر و نیز تولید گازهای سمی شده که منجر به آلودگی زیستمحیطی فراوانی می‌شود. با استفاده از تکنولوژی آسفالت گرم، ضمن کاهش دما، علاوه بر کاهش آلودگی‌های زیستمحیطی و صرفه‌جویی در مصرف انرژی، شرایط بهتری برای کارگران در محیط کار به لحاظ درجه حرارت پایین‌تر و انتشار مواد سیمی کمتر فراهم می‌گردد و نیز سبب کاهش میزان پیرشدگی قیر و کاهش سخت شدگی ناشی از اکسیداسیون قیر می‌شود. این پژوهش استفاده از دو تکنولوژی جهت کاهش هزینه و آلودگی زیستمحیطی ناشی از تولید آسفالت و همچنین بهبود عملکرد آسفالت را ارزیابی نمود که یکی استفاده از آسفالت گرم با افزودنی کائوواکس و دیگری استفاده از خرده آسفالت در طرح مخلوط آسفالتی است. از الیاف پارافایبر نیز با مقادیر مختلف جهت بهبود خواص عملکردی آسفالت استفاده گردید. جهت مقایسه و بررسی عملکرد مخلوط‌های آسفالتی، آزمایش‌های مدول برجهندگی، خرزش دینامیکی و خستگی انجام گردید. طبق نتایج به دست آمده، استفاده از خرده آسفالت موجب افزایش مدول برجهندگی و بهبود مقاومت در برابر تغییر شکل دائمی مخلوط می‌شود، که دلیل آن را می‌توان افزایش سختی مخلوط آسفالتی به واسطه افزودن خرده آسفالت دانست. با توجه به نتایج آزمایش خستگی، مشخص گردید که با اضافه کردن خرده آسفالت، عمر خستگی مخلوط، کاهش چشم‌گیری می‌یابد؛ اما با اضافه کردن الیاف پارافایبر، عمر خستگی بهبود قابل توجهی می‌یابد که به نظر می‌رسد مقاومت کششی و انعطاف پذیری بالای الیاف را می‌توان دلیل بهبود عملکرد خستگی مخلوط آسفالتی دانست. بدین ترتیب این امکان فراهم می‌شود که ضمن کاهش قابل ملاحظه هزینه‌ها و آلودگی‌های زیست محیطی، آسفالتی با عملکرد مناسب تولید نمود.

پژوهشگران حوزه تولید مخلوط‌های آسفالتی، تحقیقات بسیاری جهت برطرف کردن این مشکل انجام دادند. یکی از راهکارهای پیشنهادی، استفاده از تکنولوژی آسفالت گرم است که به موجب این تکنولوژی، دمای تولید آسفالت کاهش می‌یابد و معضلات ناشی از دمای بالای تولید آسفالت نیز تا حد زیادی برطرف می‌گردد. فناوری آسفالت گرم ابتدا در اوخر ۱۹۹۰ در اروپا مطرح شد و با توجه به اهمیت سیستم روسازی پایدار و مزایای برجسته محیط زیستی و اقتصادی و فواید ناشی از کاهش مصرف انرژی، استقبال پژوهشگران صنعت روسازی آسفالتی را به دنبال داشت و بهطور

۱- مقدمه و تاریخچه پژوهش

۱-۱ مقدمه

برای تولید آسفالت داغ^۱ معمولی، دمای بسیار بالایی مورد نیاز است که از طریق احتراق سوخت‌های فسیلی به دست آمده و آلودگی قابل توجهی منتشر می‌شود. طبق پژوهش‌های انجام شده، به ازای هر تن آسفالت داغ، در حدود ۳۰۰ مگاژول انرژی مصرف می‌شود و ۲۸/۸ کیلوگرم کربن دی اکسید به جو آزاد می‌شود [۳-۱]. لذا

1 Hot Mix Asphalt (HMA)

* نویسنده عهده‌دار مکاتبات: divandari@iauns.ac.ir

حقوق ملکین به نویسنده‌گان و حقوق ناشر به انتشارات دانشگاه امیرکبیر داده شده است. این مقاله تحت لیسانس آفرینندگی مردمی (Creative Commons License) در دسترس شما قرار گرفته است. برای جزئیات این لیسانس، از آدرس <https://www.creativecommons.org/licenses/by-nc/4.0/legalcode> دیدن فرمائید.



کرده است و همچنین به ازای ساخت آسفالت داغ، آلودگی‌های زیست محیطی زیادی را تولید کرده است. با توجه به نگرانی‌های زیست محیطی و اهمیت حفظ منابع طبیعی و کاهش مصرف مواد اولیه همچون قیر و مصالح سنگی و از طرفی دیگر تلاش جهت کاهش میزان انتشار آلودگی در فرایند تولید آسفالت، امروزه ضرورت بازیافت آسفالت بیش از پیش احساس می‌شود.

۱-۳- اهمیت موضوع

با توجه به مزایای تولید آسفالت گرم که موجب کاهش مصرف انرژی می‌شود و انتشار آلودگی کمتری را به دنبال دارد و همچنین مزایای بازیافت آسفالت که کاهش مصرف منابع اولیه را در پی دارد، این پژوهش به دنبال بررسی عملکرد مخلوط آسفالت گرم حاوی خرده آسفالت^۲ (تغییرات مدول برجهندگی، مقاومت در برابر تغییر شکل دائمی و عمر خستگی) و همچنین راهکاری جهت بهبود بخشیدن به نقاط ضعف این نوع مخلوط می‌باشد.

۱-۴- هدف پژوهش

استفاده از تکنولوژی آسفالت گرم در کنار استفاده از مصالح خرده آسفالت، می‌تواند تا حد زیادی مشکلات ناشی از تولید و انتشار گازهای مضر و آلودگی‌های زیست محیطی را حل کند. اما در مقابل، چالش‌های جدیدی را از جمله تأثیر افزودنی‌های گرم، سایر افزودنی‌ها، مصالح خرده آسفالتی و اثر کاهش دما بر عملکرد این مخلوط‌های آسفالتی را به وجود می‌آورد. شناخت و درک رفتار مصالح خرده آسفالت در مخلوط‌های بازیافتنی یک پیش‌نیاز اساسی جهت ارائه یک طرح اختلاط منطقی برای مخلوط‌های با درصد بالای خرده آسفالت می‌باشد. در این پژوهش سعی شده است این مهم‌طی آزمون‌های آزمایشگاهی متعدد، مورد ارزیابی قرار گیرد. بدین منظور مخلوط‌های گرم با استفاده از مقادیر مختلف خرده آسفالت (۰٪، ۵٪ و ۱۰٪ وزن مصالح سنگی مخلوط) و مقادیر مختلف افزودنی پارافایبر (۶٪، ۱۲٪ و ۱۸٪ وزن مصالح سنگی مخلوط) ساخته شد و مورد آزمون‌های عملکردی قرار گرفت. در آخر، تأثیر هریک از مقادیر افزودنی‌های خرده آسفالت و پارافایبر بر هریک از خصوصیات مدول برجهندگی، مقاومت در برابر

گستردگی در نقاط مختلف جهان، مورد استفاده قرار گرفت [۴-۸]. دمای مورد نیاز برای تولید آسفالت گرم، به طور متوسط حدود ۳۵ درجه سانتی گراد کمتر از آسفالت داغ می‌باشد و از این‌رو انرژی کمتری مصرف می‌شود [۹، ۱۰]. لذا موجب صرف‌جویی در مصرف انرژی می‌شود و سوخت‌های فسیلی بسیار کمتری در محل تولید آسفالت مصرف می‌شود. برای مثال طبق آزمایش‌های انجام شده، به ازای ۲۷°C کاهش دمای تولید آسفالت، مصرف سوخت %۲۲ کمتر می‌شود [۱۱]. علاوه بر این تولید آسفالت‌های گرم در دماهای پایین‌تر، سبب کاهش میزان پیرشدگی^۱ و سخت شدنی ناشی از اکسیداسیون قیر می‌شود. همچنین با توجه به اینکه اختلاف دمای بین محیط و مخلوط آسفالتی کمتر است، فاصله بین محل تولید آسفالت تا محل مصرف آن می‌تواند افزایش یابد و لذا در فواصل دورتری از محل پروژه (محل مصرف آسفالت) می‌توان آسفالت مورد نیاز را تولید کرد. علاوه بر موارد گفته شده، این قابلیت را ایجاد می‌کند که در شرایط آب و هوایی سردتر نیز، انجام پروژه ممکن باشد. بنابراین با استفاده از این روش، در فصول سرد سال که اختلاف دمای بین محیط و آسفالت داغ تولید شده زیاد است و در پخش و تراکم آسفالت ممکن است مشکلاتی ایجاد شود، می‌توان با استفاده از فناوری آسفالت گرم، با محدودیت بسیار کمتری به انجام پروژه ادامه داد [۱۲]. یکی دیگر از روش‌هایی که با استفاده از آن، میزان آلودگی زیستمحیطی ناشی از ساخت روسازی آسفالتی کاهش می‌یابد، بازیافت آسفالت می‌باشد. محققین در حوزه‌های مختلف در تلاش‌اند تا مواد دور ریختنی را بازیافت کرده و به منظور پایداری بیشتر محیط‌زیست، از آن‌ها مجدداً استفاده نمایند [۱۳]. در صنعت آسفالت نیز این موضوع مورد توجه پژوهشگران قرار گرفته است. از دیگر مزایای بازیافت آسفالت، می‌توان به کاهش مصرف مواد اولیه همچون قیر و مصالح سنگی اشاره نمود. علاوه بر این، مقدار آسفالت پیر شده‌ای که از تخریب روسازی آسفالتی قدیمی به دست می‌آید و دپوی آن باعث افزایش آلودگی‌های زیست محیطی می‌گردد، کاهش می‌یابد [۱۴].

۲- بیان مسئله

در طول سالیان متوالی، بشر همواره برای تولید انبوه آسفالت، از منابع اولیه زیادی همچون قیر و مصالح سنگی استفاده بی‌رویه

مخلوط آسفالتی می شود. استفاده از ۵۰٪ خرده آسفالت، موجب کاهش بیشتر از ۳۰٪ هزینه ها می شود. تولید آسفالت گرم نیز موجب حدود ۲۰٪ صرفه جویی انرژی می شود [۱۷]. میگوئل^۵ و همکاران در سال ۲۰۱۹ میلادی، آسفالت گرم حاوی پودر لاستیک ضایعاتی به دست آمده از تایرها را مورد بررسی قراردادند و با آسفالت داغ معمولی و آسفالت داغ حاوی پودر لاستیک، مقایسه کردند. در این پژوهش از مایع سورفکتانت^۶ به مقدار ۵٪ درصد وزن قیر به عنوان افزودنی گرم استفاده شد. طبق نتایج به دست آمده، آسفالت گرم چگالی کمتری دارد و فضای خالی بیشتری در این مخلوط وجود دارد. استفاده از پودر لاستیک، موجب بهبود مقاومت در برابر حساسیت رطوبتی می شود، ولی نسبت مقاومت کششی غیرمستقیم^۷، در مخلوط گرم کاهش می یابد. در مخلوط حاوی پودر لاستیک، مقاومت خزشی فوق العاده بهبود یافته است. ولی کاهش دمای ساخت آسفالت موجب کاهش مقاومت در برابر تغییر شکل پلاستیک^۸ گردیده است [۱۸]. عامری و همکاران در سال ۱۳۹۱، خواص عملکردی آسفالت بازیافتی به روش گرم را مورد ارزیابی آزمایشگاهی قرار دادند. در این پژوهش، چهار مخلوط بازیافتی با استفاده از ۱۰۰ درصد خرده آسفالت و یک مخلوط تازه با استفاده از مصالح سنگی خرده آسفالت که از قیر آن جدا شده است، ساخته شد. مخلوط های بازیافتی شامل یک نمونه بازیافتی داغ و سه نمونه بازیافتی گرم، یکی بدون افزودنی، یکی با افزودنی ساسوبیت و دیگری با افزودنی رئوفالت می باشد. همچنین از قیر ۸۵-۱۰۰ به عنوان قیر جدید اضافه شده به مخلوط آسفالتی استفاده گردید. برای تهیه مخلوط آسفالتی تازه از قیر ۷۰-۶۰٪ استفاده شد. برای ساخت مخلوط های حاوی افزودنی، از ۲ درصد وزنی کل قیر ساسوبیت و ۳ درصد وزنی کل قیر رئوفالت استفاده گردید. با کاهش دما از ۱۵۰ به ۱۳۰ درجه سانتی گراد در بازیافت، مقاومت نمونه ها به شدت کاهش یافته اما افزودنی های ساسوبیت و رئوفالت، موجب افزایش مقاومت نمونه های گرم شده است، ضمن این که ساسوبیت نسبت به رئوفالت تأثیر بیشتری در افزایش مقاومت داشته است. مقاومت کششی غیرمستقیم مخلوط

تغییر شکل دائمی و عمر خستگی مخلوط مورد ارزیابی قرار گرفت.

۱-۵- مروری بر پژوهش های پیشین

قیر موجود در آسفالت های قدیمی که از لحاظ فیزیکی و شیمیایی سفت و سخت شده، می تواند مجدداً در یک طرح اختلاط جدید با استفاده از جوانسازها^۱ و یا ترکیب با قیر خیلی نرم، مورد استفاده قرار گیرد. در حدود یک قرن از شناخت بازیافت آسفالت می گذرد و اولین پروژه بازیافت آسفالت مربوط به سال ۱۹۱۵ می شود. البته بازیافت آسفالت تا سال ۱۹۷۰ گسترش نشده بود، تا اینکه به دلیل بحران نفت، قیمت قیر به شدت افزایش پیدا کرد و محققین در صدد بازیافت آسفالت فرسوده و استفاده مجدد از مصالح آن، برآمدند [۱۵]. در سال های اخیر، در پژوهش محققین علاقه زیادی به ترکیب خرده آسفالت در مخلوط گرم مشاهده شده است. منصور فخری و همکاران، در سال ۲۰۱۷ مقاومت خزشی و مقاومت در برابر آسیب رطوبتی مخلوط آسفالتی گرم حاوی خرده آسفالت (به مقدار ۰، ۲۰، ۴۰ و ۵۰ درصد) و الیاف شیشه (به مقدار ۰/۳٪) و ساسوبیت (به مقدار ۱/۵٪) را مورد ارزیابی آزمایشگاهی قرار دادند. طبق نتایج به دست آمده، با اضافه شدن مقدار خرده آسفالت در مخلوط، مقاومت خزشی افزایش می یابد [۱۶]. و همچنین میزان حساسیت رطوبتی مخلوط کاهش می یابد [۱۷]. ژو یانگ^۲ و همکاران، در سال ۲۰۱۷ میلادی یک ارزیابی جامع از عملکرد زیست محیطی و مکانیکی مخلوط آسفالتی گرم ساخته شده از اووترم و پودر لاستیک^۳ را انجام دادند. طبق نتایج به دست آمده، مخلوط گرم حاوی پودر لاستیک و اووترم و همچنین مخلوط داغ حاوی پودر لاستیک، مقاومت کششی بیشتر و همچنین مقاومت بیشتری در برابر رطوبت و خزش در مقایسه با مخلوط داغ معمولی دارد [۱۸]. ویمین سانگ^۴ و همکاران در سال ۲۰۱۸ میلادی، عملکرد مخلوط آسفالتی گرم و داغ حاوی ۵۰٪ خرده آسفالت و مخلوط آسفالتی حاوی ۵۰٪ خرده آسفالت و جوانساز را مورد بررسی قرار دادند. طبق تحقیقات انجام گرفته، اضافه کردن جوانساز موجب کاهش مقاومت خزشی و افزایش مقاومت در برابر رطوبت

۵ Miguel

۶ Liquid Surfactant

۷ Indirect Tensile Strength Ratio (ITSR)

۸ Plastic Deformation

۱ Rejuvenation

۲ Xu Yang

۳ Crumb Rubber (CR)

۴ Weimin Song

جدول ۱. خصوصیات مصالح سنگی مورد استفاده

Table 1. Characteristics of aggregates used

نتیجه برای مصالح صرفی	حدود مجاز نشریه ۲۳۴	استاندارد روش آزمایش	آزمایش‌های مصالح سنگی
%۱۷	%۳۰	ASTM-C131 , AASHTO-T96	درصد سایش به روش لس آنجلس
%۲۲	%۲۵	ASTM-D4719 , BS-812	درصد تورق
%۹۳	%۹۰	ASTM-D5821 , BS-812	درصد شکستگی در دو وجه
۶۳٪	%۸	ASTM-C88 , AASHTO-T104	درصد افت وزنی در مقابل سولفات سدیم
۲/۶۵۹		ASTM-C127 , AASHTO-T85	وزن مخصوص مصالح درشت‌دانه (gr/cm ³)
۲/۶۲۳		ASTM-C128 , AASHTO-T84	وزن مخصوص مصالح ریزدانه (gr/cm ³)
۱/۳٪	%۲/۵	ASTM-C127 , AASHTO-T85	جذب آب مصالح درشت‌دانه
۲/۴٪	%۲/۸	ASTM-C128 , AASHTO-T84	جذب آب مصالح ریزدانه
%۷۴	%۵۰	ASTM D2419	ارزش ماسه‌ای

گرم با افزودنی، از مخلوط بازیافتی داغ نیز بهتر است و در این میان عملکرد مخلوط ساسوبیتی، بهتر از سایر نمونه‌ها بوده است [۱۹]. در پژوهش دیگری که بهمنانی و همکاران در سال ۱۳۹۵ انجام دادند، عملکرد آزمایشگاهی مخلوط‌های آسفالتی ساخته شده با دو افزودنی گرم متفاوت زایکوترم و ساسوبیت مورد ارزیابی و مقایسه قرار گرفت. طبق بررسی نتایج آزمایش‌های انجام گرفته، نانو ماده زایکوترم استفاده شده در این پژوهش، علاوه بر کاهش دمای ساخت مخلوط آسفالتی، حساسیت رطوبتی مخلوط گرم ساخته شده با زایکوترم، کمتر که میزان حساسیت رطوبتی مخلوط گرم ساخته شده با زایکوترم، کمتر از مخلوط آسفالتی داغ کنترلی و مخلوط حاوی ساسوبیت می‌باشد. در مخلوط گرم ساخته شده با ساسوبیت، سختی مخلوط افزایش یافته است و میزان مدول برجهندگی مخلوط ساسوبیتی، از مخلوط حاوی زایکوترم و مخلوط داغ کنترلی، بیشتر است. همچنین میزان شیار

های بازیافتی، مقدار کمتری از مقاومت مخلوط تازه بوده است. این امر نشان می‌دهد هنگامی که از مصالح خردۀ آسفالت استفاده می‌شود، احتمال بروز ترک بیشتر می‌شود. کلیه مخلوط‌های بازیافتی، مدول برجهندگی بیشتری نسبت به مخلوط داغ تازه داشته‌اند و در این میان مخلوط‌های ساسوبیتی و رئوفالتی، بیشترین مدول را داشته‌اند و بیشترین مدول مربوط به مخلوط ساسوبیتی می‌باشد. افزودنی‌های ساسوبیت و رئوفالت در نمونه‌های بازیافتی، موجب افزایش مقاومت در برابر آسیب‌های رطوبتی شده است، به طوری که نمونه‌های گرم ساسوبیتی و رئوفالتی حتی عملکرد بهتری نسبت به مخلوط بازیافتی داغ داشته است. مصالح خردۀ آسفالت و افزودنی‌های ساسوبیت و رئوفالت، موجب افزایش مقاومت مخلوط در برابر شیار شدگی می‌شود. عملکرد شیار شدگی مخلوط‌های

جدول ۲. دانه‌بندی شماره ۴ نشریه شماره ۲۳۴

Table 2. Number 4 continuous gradation

میلی‌متر	شماره الک	اینج	درصد وزنی عبوری	متوسط عبوری	درصد مانده
۱۹	-	. 3/ 4	۱۰۰	۱۰۰	.
۱۲/۵	-	۱/ 2	۹۵	۱۰۰-۹۰	۵
۹/۵	-	۳/ 8	-	-	-
۴/۷۵	۴	-	۵۹	۷۴-۴۴	۳۶
۲/۳۶	۸	-	۴۳	۵۸-۲۸	۱۶
۱/۱۸	۱۶	-	-	-	-
۰/۶	۳۰	-	-	-	-
۰/۳	۵۰	-	۲۱-۵	۲۱-۵	۳۰
۰/۱۵	۱۰۰	-	-	-	-
۰/۰۷۵	۲۰۰	-	۱۰-۲	۶	۷

جدول ۳. مشخصات آزمایشگاهی قیر بکار رفته در این پژوهش

Table 3. Bitumen tests results

عنوان	استاندارد روش آزمایش	حدود مجاز نشریه ۲۳۴	نتیجه برای قیر مصرفی
وزن مخصوص قیر (gr/cm ³)	ASTM D70 ، AASHTO T228	-	۱/۰۱۷
درجه نفوذ قیر (0.1mm)	ASTM D5 ، AASHTO T49	۶۷	۶۰-۷۰
نقطه نرمی قیر (°C)	ASTM D36 ، AASHTO T53	۵۱	۴۹-۵۶
کشش پذیری (انگمی) قیر (cm)	ASTM D113 ، AASHTO T51	+۱۰۰	حداقل ۱۰۰
درجه اشتغال قیر (°C)	ASTM D92 ، AASHTO T48	۳۰۴	حداقل ۲۳۲
کندروانی قیر (sec)	ASTM D88 ، AASHTO T72	۹۲	-
افت وزنی قیر در اثر حرارت (%)	ASTM D1754 ، AASHTO T179	۰/۳	حداکثر ۰/۸

و ماسه اسب چران (کارخانه آسفالت کندوان پارس)، واقع در شهرستان رودهن در ۱۵ کیلومتری شمال شرقی شهر تهران تهیه شده است که از نوع سنگدانه‌های شکسته آهکی می‌باشد. نتایج آزمایش مربوط به این مصالح سنگی، در جدول ۱ آمده است.

۱-۱-۳ دانه‌بندی مصالح سنگی

پس از الک کردن مصالح سنگی، جهت ساخت نمونه‌ها از حد وسط دانه‌بندی شماره چهار آیین‌نامه روسازی آسفالتی راه‌های ایران (نشریه شماره ۲۳۴) استفاده شد. مشخصات الک‌های مورد استفاده و همچنین حدود دانه‌بندی موردنظر در جدول ۲ و شکل ۱ ارائه گردیده است.

۲-۳ فیلر

فیلر (پرکن) به عنوان ریزدانه ترین بخش مخلوط آسفالتی، نقش مهمی را در رفتار مخلوط آسفالتی ایفا می‌کند. بویژه اینکه در چسبندگی، قفل و بست بین دانه‌ها و پر کردن فضای خالی بین

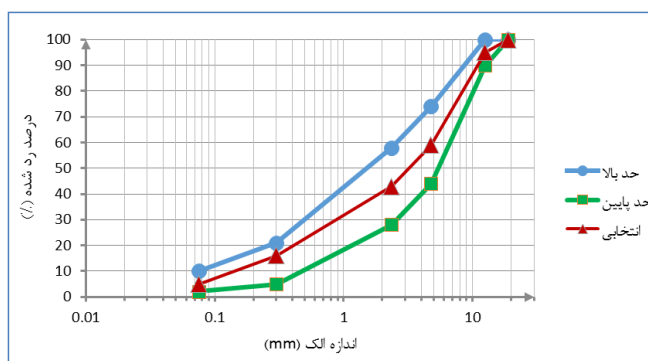
در این پژوهش با استفاده از تکنیک آسفالت گرم، با ترکیب ۳ مقدار مختلف خرد آسفالت (۰٪، ۵٪ و ۱۰٪ وزن مصالح سنگی مخلوط) و همچنین ۴ مقدار مختلف افزودنی پارافایبر (۰٪، ۱۲٪، ۱۸٪ و ۲۰٪ وزن مصالح سنگی مخلوط)، ۱۲ نوع مخلوط آسفالتی ساخته شده است. برای ساخت نمونه‌های آسفالتی، از متراکم کننده چرخشی (ژیراتوری) استفاده گردید. پس از ترکیب مصالح با قیر و افزودنی، مخلوط درون قالب ژیراتوری ریخته می‌شود و با تنظیم دستگاه ژیراتوری وارد کردن اطلاعات ورودی مورد نیاز، دستگاه شروع به تراکم مخلوط نموده و در پایان با توجه به میزان فضای خالی مورد نظر، مخلوط متراکم شده آماده می‌گردد. در این مطالعه برای ساخت نمونه‌های آسفالتی، میزان فضای خالی ۴٪ در نظر گرفته شد. با انجام آزمایش‌های مدول بر جهندگی، خوش دینامیکی و خستگی، عملکرد انواع مخلوط‌ها ارزیابی و مقایسه گردید.

۳- مصالح و مواد استفاده شده

در این قسمت، مصالح بکار رفته در ساخت نمونه‌ها شامل مصالح سنگی جدید، فیلر و خرد آسفالت و همچنین مواد بکار رفته شامل قیر، افزودنی گرم و افزودنی الیاف پارافایبر معروفی می‌شوند.

۳-۱-۱ مصالح سنگی جدید

مصالح سنگی جدید مورد نیاز این پژوهش، از معدن شن



شکل ۱: حدود منحنی دانه‌بندی مصالح سنگی طبق دانه‌بندی شماره چهار نشریه ۲۳۴

Fig. 1. Aggregate gradation

جدول ۴. مشخصات افزودنی گرم کائوواکس
Table 4. WMA additive properties

توضیح	ویژگی
حداکثر ۱۰	مقدار آمین کل (mg KOH/g)
حداکثر ۱۰	مقدار اسید (mg KOH/g)
جامد گرانولی ۱۱۱-۱۱۷	شكل ظاهری در دمای ۲۵ درجه سانتی گراد نقطه ذوب (°C)

که به محلوت اضافه می شود، به عنوان افروزنده گرم در ساخت نمونه ها استفاده شد. کائوواکس به عنوان یک افزودنی گرم شیمیایی، دمای تولید و تراکم را بیش از ۲۵ درجه سانتی گراد کاهش می دهد و موجب بهبود مشخصات رئولوژیکی قیر می شود، همچنین خصوصیات عملکردی محلوت آسفالتی را نیز بهبود می بخشد. نحوه افزودن این افزودنی نیز بدین شکل است که ابتدا قیر تا دمای ۱۱۷ درجه سانتی گراد گرم می شود و به مقدار مورد نظر از افروزنده به قیر گرم اضافه می شود و به مدت ۲۰ دقیقه در دمای ۱۱۷ درجه سانتی گراد با استفاده از یک همزن ساده، ترکیب می شوند. یکی از برتری های این افروزنده نسبت به سایر افروزندهای مشابه، ترکیب آسان تر آن است که با استفاده از یک همزن ساده با قیر ترکیب می شود. در جدول ۴ بخشی از خصوصیات این افزودنی آمده است [۲۲].

۵-۳-۱- افزودنی الیاف پارافایبر

مطابق بررسی پژوهش های انجام شده در خصوص استفاده از این افزودنی، استفاده از پارافایبر رویه های مقاوم تری ایجاد می کند و باعث افزایش طول عمر روسازی آسفالتی می شود. آسفالت مسلح شده با این الیاف، مقاومت کششی و مدول برجهندگی بالاتری دارد و در برابر ترک های خستگی، شیارشدنگی و خرز، مقاومت مناسب

جدول ۵. مشخصات افزودنی پارافایبر به کار رفته در این پژوهش

Table 5. Para-fiber additive characteristics

توضیح	ویژگی
سفید	رنگ
۱/۱ - ۲/۷	چگالی (gr/cm ³)
۶-۱۹	طول (mm)
۵-۱۲	نمود نخ (وزن ۱۰۰۰۰ متر از الیاف بر حسب کیلو گرم)
۷۵۰-۱۱۰۰	مقاومت کششی (MPa)
۲۳۰-۴۵۰	نقطه ذوب (°C)
ندارد	جب آب

جدول ۶. نتایج آزمایش‌های طرح اختلاط مارشال جهت تعیین مقادیر قیر بهینه

Table 6. Results of Marshall mixing design experiments

نحوه نتیجه	حدود مجاز	روانی نمونه (mm)	درصد فضای خالی نمونه		VFA (%)		VMA (%)		نوع مخلوط
			حدود مجاز	نتیجه	حدود مجاز	نتیجه	حدود مجاز	نتیجه	
۲/۳	۳/۵-۲	۴/۰۹	۵-۳	۷۲/۸	۷۵-۶۵	۱۵/۱۵	۱۴	حداقل	بدون خرده آسفالت
۳/۱۹	۳/۵-۲	۴/۷۸	۵-۳	۷۳/۶	۷۵-۶۵	۱۹/۲۷	۱۴	حداقل	شامل ۵۰٪ خرده آسفالت
۲/۹	۳/۵-۲	۴/۸۲	۵-۳	۷۴/۷	۷۵-۶۵	۱۹/۷۸	۱۴	حداقل	شامل ۱۰۰٪ خرده آسفالت

برداشت روسازی قدیمی بزرگراه صیاد شیرازی تهران، تهیه گرددیده است که با توجه به اطلاعات موجود، این روسازی از صالح سنگی کوهی و قیر ۶۰-۷۰ ساخته شده است.

۱-۷-۳ محاسبه درصد قیر موجود در خرده آسفالت
در این پژوهش از دستگاه سانتریفیوژ طبق استاندارد ASTM D۲۱۷۲ صالح استفاده گردید و بتنیز به عنوان حلال به کاربرده شد [۲۵]. این آزمایش سه مرتبه تکرار شد و میزان قیر موجود در صالح خرده آسفالت، برابر با مقدار ۵/۱۹ درصد، تعیین گردید.

۴- محاسبه درصد قیر بهینه

در این پژوهش از روش مارشال برای تعیین میزان قیر بهینه در مخلوط استفاده گردید. وزن صالح سنگی مورد نظر، ۱۲۰۰ گرم و دارای درصد قیرهای، ۴ تا ۶/۵ درصد (با اختلاف مقدار ۰/۵ درصد) بودند که از هر کدام سه نمونه تهیه گردید. هریک از مخلوط‌های آسفالتی ساخته شده، درون قالب مارشال استوانه‌ای به قطر ۴ اینچ ریخته شده و سپس زیر چکش اتوماتیک مارشال قرار گرفت (جدول ۶). چکش اتوماتیک مارشال را تنظیم کرده که به هر دو طرف ۷۵ ضربه وارد کند. جهت تعیین میزان قیر بهینه برای هریک از انواع مخلوط‌های آسفالتی مورد نظر، ابتدا با توجه به مقاومت مارشال نمونه‌ها، درصد قیری که بیشترین مقاومت را داشته، تعیین

تری نسبت به نمونه‌های آسفالتی شاهد، ایجاد می‌کند. لذا در این پژوهش از افزودنی پارافایبر، به مقدارهای مختلف (۰/۰۶٪، ۰/۰۱۸٪ و ۰/۰۱۲٪ وزن صالح سنگی مخلوط) برای بهبود عملکرد مخلوط آسفالتی استفاده شد. این افزودنی قبل از آنکه قیر با صالح سنگی ترکیب شود، با صالح سنگی گرم شده ترکیب می‌شود و سپس قیر گرم نیز با مخلوط صالح سنگی و الیاف ترکیب می‌شود. در جدول ۵ بخشی از مشخصات این افزودنی آمده است [۲۳، ۲۴].

۵- جوانساز

از نانو پلی به مقدار ۲/۵٪ وزن قیر موجود در خرده آسفالت، به عنوان جوان‌کننده استفاده شد و به خرده آسفالت اضافه گردید. ابتدا به نانو پلی حرارت داده می‌شود تا دمای آن به ۱۲۰ درجه سانتی‌گراد برسد. سپس به خرده آسفالت گرم شده اضافه می‌شود و ترکیب می‌شوند. از خواص این افزودنی، می‌توان به موارد زیر اشاره نمود:

- < برگشت خصوصیات فیزیکی قیر پایه
- < افزایش چسبندگی قیر در مخلوط‌های بازیافت شده
- < افزایش خاصیت برگشت‌پذیری به قیر و نهایتاً مخلوط آسفالتی
- < افزایش مقاومت در مقابل تنفس‌های حرارتی

۶- خرده آسفالت

صالح خرده آسفالت استفاده شده در این پژوهش، از

جدول ۷. مقادیر درصد قیر بهینه برای مخلوط‌های ساخته شده با مقادیر مختلف خرده آسفالت

Table 7. Optimum quantity of bitumen

ترکیب مخلوط	میزان قیر بهینه
مخلوط گرم ساخته شده از صالح سنگی جدید	(قیر جدید + قیر موجود در خرده آسفالت) / ۵/۱۴
مخلوط گرم ساخته شده از ۰/۵۰٪ صالح سنگی جدید و ۰/۵۰٪ خرده آسفالت	/ ۵/۴۷
مخلوط گرم ساخته شده از ۱۰۰٪ خرده آسفالت	/ ۵/۹۱

های ساخته شده انجام گردیدند که در ادامه فرآیند انجام هر آزمایش بررسی می گردد. در هر آزمایش برای هر نوع مخلوط آسفالتی، ۳ نمونه ساخته شد. با توجه به اینکه ۱۲ نوع مخلوط آسفالتی مورد ارزیابی قرار گرفت، برای هر آزمایش ۳۶ نمونه ساخته شد. در این پژوهش برای انجام ۳ آزمایش مدول برجهندگی، خزش دینامیکی و خستگی قطری، در مجموع ۱۰۸ نمونه ساخته شد.

۱-۵- آزمایش مدول برجهندگی

آزمایش مدول برجهندگی طبق استاندارد ASTM D4123-82 انجام می شود. این استاندارد پیشنهاد می کند با بارگذاری تکراری انجام می شود. این استاندارد مخصوص آسفالت، درصد قیری که مدول برجهندگی توسط تنش هایی با مقادیری در بازه ۱۰ تا ۵۰ درصد مقاومت کششی غیرمستقیم نمونه ها اندازه گیری شود. حال میانگین این دو مقدار در نظر گرفته می شود. سپس مقدار موردنظر، با چهار مقدار درصد فضای خالی صالح سنگی (VMA) و درصد فضای خالی پر شده با قیر (VFA) و فضای خالی نمونه و وارتفتگی نمونه، طبق محدودیت های نشریه شماره ۲۳۴، مقایسه می شود. اگر شرایط لازم طبق آیین نامه را نداشت، میزان درصد قیر را کاهش داده تا شرایط مورد نظر برقرار گردد. میزان قیر بهینه به دست آمده برای هر یک از انواع مخلوط ها، در جدول ۷ آورده شده است.



شکل ۲. تصویری از نحوه قرارگیری نمونه در آزمایش مدول برجهندگی
Fig. 2. A picture of how to place a specimen in the resilient modulus test

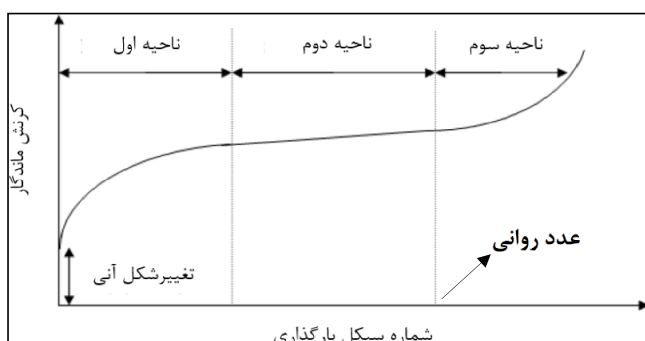
می گردد. همچنین با توجه به وزن مخصوص آسفالت، درصد قیری که بیشترین وزن مخصوص آسفالت را در پی دارد نیز تعیین می گردد. حال میانگین این دو مقدار در نظر گرفته می شود. سپس مقدار موردنظر، با چهار مقدار درصد فضای خالی صالح سنگی (VMA) و درصد فضای خالی پر شده با قیر (VFA) و فضای خالی نمونه و وارتفتگی نمونه، طبق محدودیت های نشریه شماره ۲۳۴، مقایسه می شود. اگر شرایط لازم طبق آیین نامه را نداشت، میزان درصد قیر را کاهش داده تا شرایط مورد نظر برقرار گردد. میزان قیر بهینه به دست آمده برای هر یک از انواع مخلوط ها، در جدول ۷ آورده شده است.

۵- آزمایش های انجام شده

جهت مقایسه و بررسی عملکرد مخلوط های آسفالتی، آزمایش های مدول برجهندگی، خزش دینامیکی و خستگی بر روی نمونه



شکل ۳. تصویری از نحوه قرارگیری نمونه در آزمایش خزش دینامیکی
Fig. 3. A picture of how to place a specimen in the dynamic creep test



شکل ۴. منحنی کرنش تجمعی در برابر تعداد سیکل بارگذاری در آزمایش خزش [۳۰]

Fig. 4. Cumulative strain curve versus number of loading cycles in dynamic creep test

جدول ۸. ترکیب آسفالت های مورداستفاده برای انواع نمونه های موردنبررسی و علامت اختصاری هر یک

Table 8. Asphalt composition used for all types of specimens studied

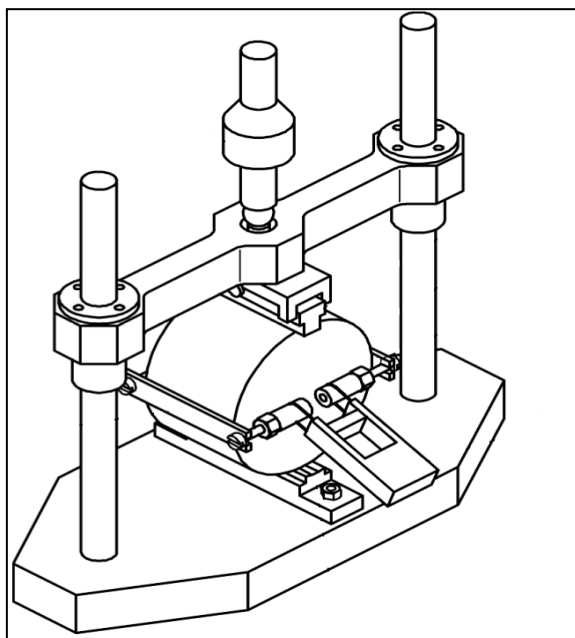
علامت اختصاری	ترکیب مخلوط	نوع
ROP0	مخلوط گرم ساخته شده از مصالح سنگی جدید، بدون افزودنی الیاف پارافایبر	۱
ROP6	مخلوط گرم ساخته شده از مصالح سنگی جدید، به همراه ۰٪ وزن سنگدانهها افزودنی الیاف پارافایبر	۲
ROP12	مخلوط گرم ساخته شده از مصالح سنگی جدید، به همراه ۱۲٪ وزن سنگدانهها افزودنی الیاف پارافایبر	۳
ROP18	مخلوط گرم ساخته شده از مصالح سنگی جدید، به همراه ۱۸٪ وزن سنگدانهها افزودنی الیاف پارافایبر	۴
R50P0	مخلوط گرم ساخته شده از ۵۰٪ مصالح سنگی جدید و ۵۰٪ خرد آسفالت، بدون افزودنی الیاف پارافایبر	۵
R50P6	مخلوط گرم ساخته شده از ۵۰٪ مصالح سنگی جدید و ۵۰٪ خرد آسفالت، به همراه ۶٪ وزن سنگدانهها افزودنی الیاف پارافایبر	۶
R50P12	مخلوط گرم ساخته شده از ۵۰٪ مصالح سنگی جدید و ۵۰٪ خرد آسفالت، به همراه ۱۲٪ وزن سنگدانهها افزودنی الیاف پارافایبر	۷
R50P18	مخلوط گرم ساخته شده از ۵۰٪ مصالح سنگی جدید و ۵۰٪ خرد آسفالت، به همراه ۱۸٪ وزن سنگدانهها افزودنی الیاف پارافایبر	۸
R100P0	مخلوط گرم ساخته شده از ۱۰۰٪ خرد آسفالت، بدون افزودنی الیاف پارافایبر	۹
R100P6	مخلوط گرم ساخته شده از ۱۰۰٪ خرد آسفالت، به همراه ۶٪ وزن سنگدانهها افزودنی الیاف پارافایبر	۱۰
R100P12	مخلوط گرم ساخته شده از ۱۰۰٪ خرد آسفالت، به همراه ۱۲٪ وزن سنگدانهها افزودنی الیاف پارافایبر	۱۱
R100P18	مخلوط گرم ساخته شده از ۱۰۰٪ خرد آسفالت، به همراه ۱۸٪ وزن سنگدانهها افزودنی الیاف پارافایبر	۱۲

میلی ثانیه و کل زمان هر سیکل ۲۰۰۰ میلی ثانیه لحظه گردید. مقدار تنیش وارد نیز طبق استاندارد موردنظر، ۲۰۰ کیلو پاسکال اعمال شد. نتایج این آزمایش به صورت منحنی کرنش تجمعی در برابر سیکل بارگذاری می باشد. شکل ۴ نمونه ای از منحنی کرنش تجمعی در برابر سیکل بارگذاری را نشان می دهد. همان طور که

درجه سانتی گراد نگهداری شده و آزمایش نیز در این دما و تحت بار ۴۰۰ نیوتن، انجام شد. در شکل ۲، نحوه قرارگیری نمونه در دستگاه جهت تعیین مدول بر جهندگی آسفالت، نشان داده شده است.

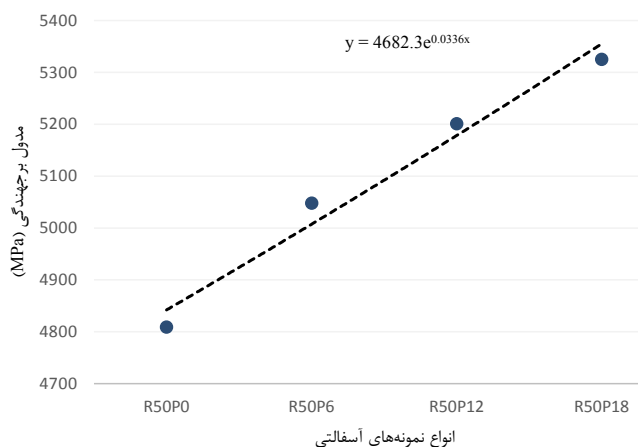
۲-۵-آزمایش خزش دینامیکی

شیارشده‌گی یکی از اصلی‌ترین خرابی‌های روسازی آسفالتی است که به دلیل حرکت مکرر وسایل نقلیه سنگین بر روی لایه‌های روسازی یا ضعف بستر به وجود می‌آید. شیارشده‌گی یک خرابی سازه‌ای در نظر گرفته نمی‌شود اما می‌تواند سبب بروز خطرات جدی برای وسایل نقلیه شود. عوامل زیادی مانند شرایط محیطی (دماه بالا)، سرعت وسایل نقلیه و فشار تماسی لاستیک می‌توانند در به وجود آمدن این خرابی دخیل باشند [۲۶]. مقاومت مخلوط‌های آسفالتی در برابر تغییر شکل دائم را می‌توان با استفاده از آزمون خزش تکراری تعیین کرد. در آزمایش خزش دینامیکی، تنیش تکمحوره پالسی مکرر بر روی یک نمونه آسفالت اعمال و تغییر شکل حاصل در همان جهت با استفاده از مبدل‌های دیفرانسیل خطی متغیر اندازه‌گیری می‌شود [۲۷,۲۸]. آزمایش خزش دینامیکی مطابق استاندارد استرالیا AS2891.12.1 انجام شد. نمونه‌ها به مدت ۸ ساعت پیش از انجام آزمایش در دماه ۵۰ درجه سانتی گراد نگهداری شده و آزمایش نیز در این دما انجام شد (شکل ۳). در این آزمایش، شکل بارگذاری به صورت مستطیل انتخاب شد. زمان بارگذاری ۵۰۰



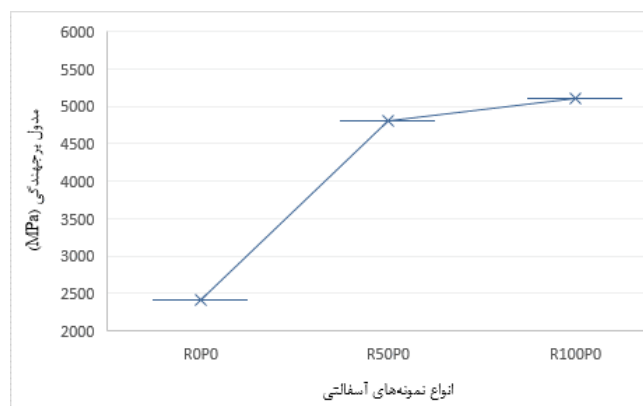
شکل ۵. تصویری شماتیک از نحوه قرارگیری نمونه در آزمایش خستگی قطری [۲۲]

Fig. 5. A picture of how to place a specimen in the fatigue test



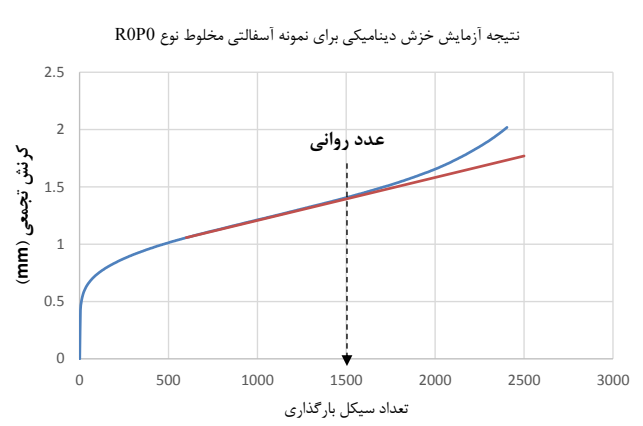
شکل ۷. نمودار نتایج مربوط به مدول برجمندگی انواع نمونه های آسفالتی حاوی ۵٪ خرده آسفالت و حاوی مقادیر مختلف پارافایبر

Fig. 7. Diagram of results for the resilient modulus of specimens containing 50% RAP and different amounts of Para-fiber



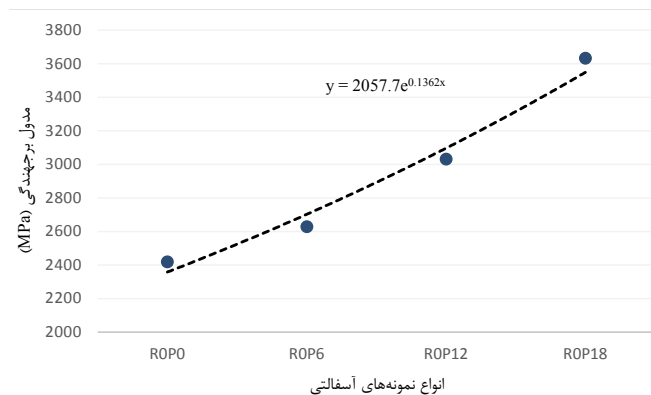
شکل ۹. نمودار نتایج مربوط به مدول برجمندگی انواع نمونه های آسفالتی فاقد پارافایبر

Fig. 9. Diagram of results for the resilient modulus of specimens without Para-fiber



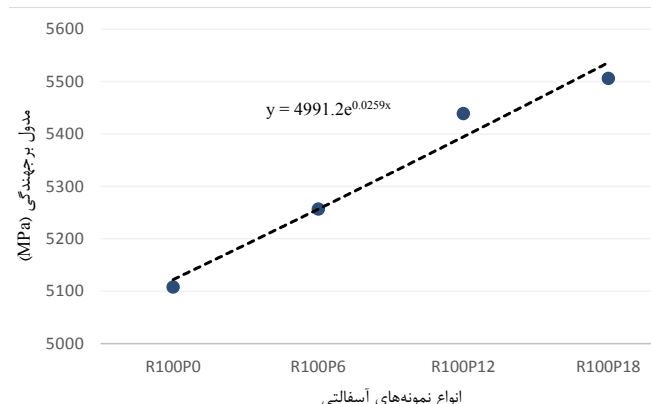
شکل ۱۱. نمونه‌ای از نتیجه آزمایش خزش دینامیکی

Fig. 11. An example of a dynamic creep test result



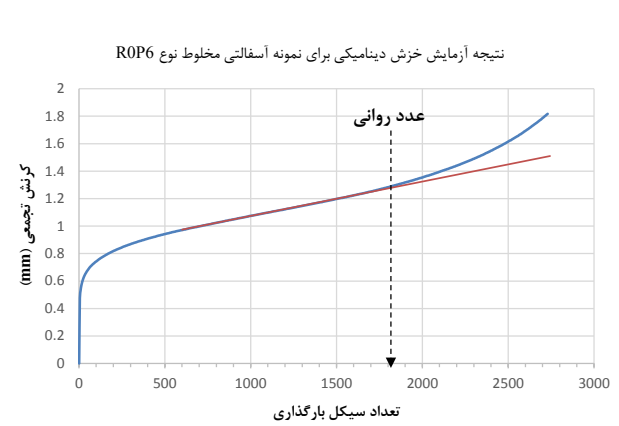
شکل ۶. نمودار نتایج مربوط به مدول برجمندگی انواع نمونه های آسفالتی فاقد خرده آسفالت و حاوی مقادیر مختلف پارافایبر

Fig. 6. Diagram of results for the resilient modulus of specimens without RAP and containing different amounts of Para-fiber



شکل ۸. نمودار نتایج مربوط به مدول برجمندگی انواع نمونه های آسفالتی حاوی ۱۰٪ خرده آسفالت و حاوی مقادیر مختلف پارافایبر

Fig. 8. Diagram of results for the resilient modulus of specimens containing 100% RAP and different amounts of Para-fiber



شکل ۱۰. نمونه‌ای از نتیجه آزمایش خزش دینامیکی

Fig. 10. An example of a dynamic creep test result

شكل بارگذاری، سبب تنش کششی یکنواخت در نمونه شده که عمود بر جهت بارگذاری و در طول نمونه استوانه خواهد بود [۳۲]. این آزمایش از نظر اجرائی ساده و جهت بیان ویژگی آسفالت روش مؤثری است. محققین مختلفی این شکل آزمایش را برای ارزیابی عمر خستگی آسفالت و آتالیز روسازی بکار برده‌اند. نمونه های آزمایش معمولاً دارای قطری برابر ۴ اینچ و ارتفاع ۲/۵ اینچ بوده و عرض نوار بارگذاری بر کناره های نمونه استوانه‌ای برابر ۰/۵ اینچ می باشد [۳۱]. در این آزمایش که طبق استاندارد BS EN 12697-24 انجام گردید، بار به صورت تنش ثابت اعمال شد که در آن بار تکراری وارد شده باعث افزایش کرنش کششی و ترک خوردن و در نهایت خراب شدن نمونه آزمایش می شود. بار شبه سینوسی به صورت تکراری و با ۰/۱ ثانیه زمان بارگذاری و ۰/۴ ثانیه زمان استراحت یا باربرداری، اعمال گردید [۳۳]. این آزمایش نیز با استفاده از دستگاه UTM موجود در آزمایشگاه قیر و آسفالت دانشگاه علم و صنعت ایران، انجام گردید. در شکل ۵، تصویری شماتیک از نحوه قرارگیری نمونه درون دستگاه مشاهده می شود.

۶- نتایج و تفسیر آزمایش‌ها

در این قسمت، نتایج هریک از آزمایش‌های انجام شده بر روی نمونه‌ها آورده شده است. نتایج نمونه‌های مختلف، به صورت جداول و نمودار با یکدیگر مقایسه شده اند و عملکرد انواع مخلوط‌های آسفالتی تحلیل و بررسی شده است. با توجه به این که در نمونه‌ها و جدول‌ها، علائم اختصاری هر نوع آسفالت به کاربرده شده است، علائم اختصاری هریک از انواع مخلوط‌های آسفالتی در جدول ۸ آورده شده است.

۶- نتایج آزمایش مدول برجهندگی

نتایج آزمایش مدول برجهندگی در جدول ۹ آورده شده است. نتایج آزمایش مدول برجهندگی در نمونه‌های فاقد خرده آسفالت، ۵۰ درصد و ۱۰۰ درصد خرده آسفالت و با مقادیر مختلف الیاف پارافایبر، به ترتیب در شکل‌های ۶، ۷ و ۸ نشان داده شده است. طبق نتایج آزمایش مدول برجهندگی، افزودن پارافایبر به مخلوط موجب افزایش مدول برجهندگی مخلوط می گردد که دلیل آن را می‌توان افزایش انعطاف‌پذیری مخلوط آسفالتی به واسطه افزودن الیاف پارافایبر دانست. میزان تأثیر پارافایبر بر افزایش

جدول ۹. مقدار متوسط مدول برجهندگی برای هریک از انواع مخلوط‌های آسفالتی

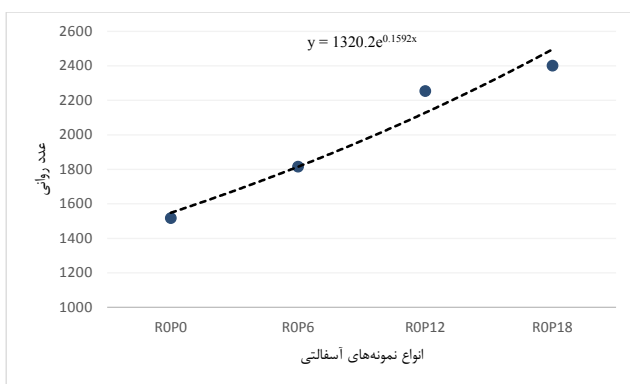
Table 9. Average amount of resilient modulus for each type of asphalt mixture

نوع مخلوط آسفالتی	مقدار مدول برجهندگی (MPa)
R0P0	۲۴۱۹
R0P6	۲۶۲۸
R0P12	۳۰۳۱
R0P18	۲۶۳۲
R50P0	۴۸۰۹
R50P6	۵۰۴۸
R50P12	۵۲۰۱
R50P18	۵۳۲۵
R100P0	۵۱۰۸
R100P6	۵۲۵۷
R100P12	۵۴۳۹

دیده می‌شود این نمودار به سه ناحیه تقسیم می‌شود. در ناحیه اول تغییرمکان‌های دائم به‌طور ناگهانی بر روی هم انباسته می‌شوند. در ناحیه دوم افزایش روند (شیب) تغییرمکان دائم کاهش می‌یابد و در ناحیه سوم شیب تغییرمکان دوباره افزایش می‌یابد و مقدار تغییرمکان دائم به‌شدت روی هم انباسته می‌شود. تعداد سیکل در شروع ناحیه سوم به عنوان عدد روانی شناخته می‌شود [۲۹].

۳-۵- آزمایش خستگی قطری (خستگی به روش کشش غیرمستقیم)

مقاومت مخلوط‌های آسفالتی در برابر خستگی یکی از مهم ترین خصوصیات مصالح آسفالتی می‌باشد که در طراحی روسازی های انعطاف‌پذیر از اهمیت ویژه‌ای برخوردار است. زمانی که یک روسازی انعطاف‌پذیر تحت تأثیر بارهای تکراری ناشی از وسایل نقلیه قرار می‌گیرد، لایه روسازی به صورت یک تیر خمشی عمل نموده و در زیر بار چرخ و در سطح روسازی تنش‌های فشاری و در پایین ترین لایه آسفالتی، تنش‌ها و یا کرنش‌های کششی به وجود می‌آید. چنان‌چه تنش‌ها و یا کرنش‌ها از تنش‌ها و کرنش‌های مجاز کششی آن لایه آسفالتی تجاوز نماید، منجر به ایجاد ترک‌هایی در زیر لایه آسفالتی می‌گردد که در نهایت به سطح روسازی انتقال می‌یابد. از تجمع و به هم پیوستن این ترک‌ها در سطح روسازی، ترک‌های پوستسوسماری یا ترک‌های خستگی به وجود می‌آید [۳۱]. در آزمایش خستگی قطری، بارگذاری به صورت تکراری بر یک نمونه استوانه‌ای وارد می‌شود، به‌طوری‌که تنش فشاری موازی با ارتفاع استوانه و به صورت قائم اعمال می‌شود. این



شکل ۱۳: نمودار نتایج مربوط به عدد روانی انواع نمونه های آسفالتی فاقد خرد، آسفالت و حاوی مقادیر مختلف پارافایبر

Fig. 13. Diagram of results for the flow number of specimens without RAP and containing different amounts of Para-fiber

پارافایبر در افزایش مقاومت آسفالت در برابر تغییر شکل دائمی، با افزایش مقدار خرد آسفالت، افزایش می یابد. به گونه ای که اضافه کردن پارافایبر به مخلوط حاوی %۱۰۰ خرد آسفالت، تأثیر بیشتری را در افزایش عدد روانی نسبت به نمونه حاوی %۵۰ خرد آسفالت و بدون خرد آسفالت دارد. در مخلوط های بدون خرد آسفالت، به ازای هر %۰/۰۶ افزودن پارافایبر، عدد روانی به طور متوسط %۱۶/۸ افزایش می یابد. در مخلوط های حاوی %۵۰ خرد آسفالت، به ازای هر %۰/۰۶ افزودن پارافایبر، عدد روانی به طور متوسط به ترتیب %۳۶/۳ و %۲۹/۴ افزایش می یابد. همان طور که در نمودار بالا مشخص است، با اضافه کردن خرد آسفالت نیز عدد روانی به طور چشم گیری افزایش می یابد. بهخصوص در مخلوط های حاوی %۱۰۰ خرد آسفالت، عدد روانی بسیار بیشتر از سایر مخلوط ها می باشد. به نظر می رسد افزودن خرد آسفالت، کاهش تغییر شکل های ماندگار را در مخلوط آسفالتی در پی خواهد داشت و به واسطه همین موضوع، عدد روانی افزایش می یابد.

۶-۳- نتایج آزمایش خستگی

نتایج آزمایش خستگی در جدول ۱۱ آورده شده است. مانند دو آزمایش قبل، در سه شکل ۱۷، ۱۸ و ۱۹ به ترتیب نتایج آزمایش خستگی قطری نمونه های مسلح شده با الیاف در سه حالت بدون خرد آسفالت، پنجاه و صدرصد خرد آسفالت ارائه شده است. طبق نتیجه آزمایش خستگی که در شکل های بالا آمده است، افزودن پارافایبر موجب افزایش عمر خستگی مخلوط می گردد و عمر خستگی آسفالت را بهبود می بخشد که دلیل آن را می توان افزایش



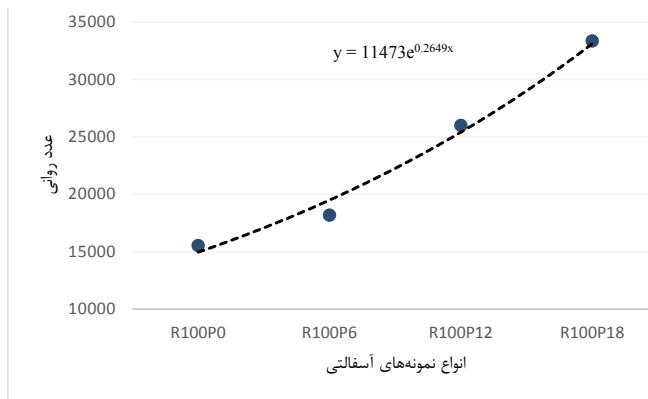
شکل ۱۲. نمونه ای از نتیجه آزمایش خزش دینامیکی

Fig. 12. An example of a dynamic creep test result

مدول برجهندگی مخلوط، با افزایش مقدار خرد آسفالت در مخلوط، کاهش می یابد. در مخلوط بدون خرد آسفالت، پارافایبر بیشترین تأثیر را در افزایش مدول برجهندگی مخلوط دارد و در مخلوط حاوی %۱۰۰ خرد آسفالت، تأثیر پارافایبر برافزایش مدول برجهندگی مخلوط، بسیار کمتر است. در مخلوط های بدون خرد آسفالت، به ازای هر %۰/۰۶ افزودن پارافایبر، مقدار مدول برجهندگی به طور متوسط %۱۴/۶ افزایش می یابد. در مخلوط های حاوی %۵۰ و %۱۰۰ خرد آسفالت، به ازای هر %۰/۰۶ افزودن پارافایبر، مقدار مدول برجهندگی به طور متوسط %۳ افزایش می یابد. همان طور که از نتایج مشخص است، با اضافه کردن خرد آسفالت، مدول برجهندگی به مقدار قابل توجهی افزایش می یابد، که می تواند به دلیل بالا رفتن سختی مخلوط باشد. استفاده از %۵۰ خرد آسفالت، تأثیر مشابهی با آسفالت حاوی %۱۰۰ خرد آسفالت دارد و مقدار مدول برجهندگی آن ها بسیار به هم نزدیک است.

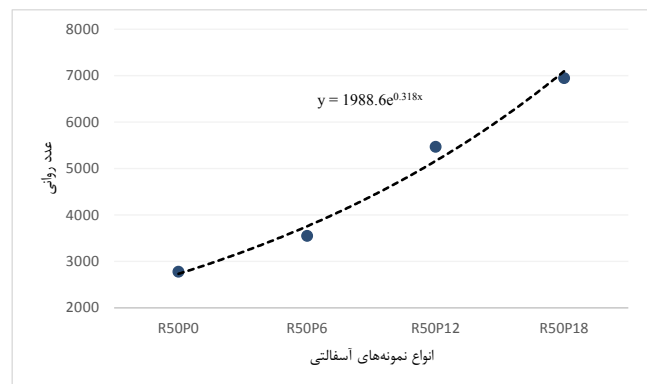
۶-۲- نتایج آزمایش خزش دینامیکی

نتایج آزمایش خزش دینامیکی در جدول ۱۰ آورده شده است. مطابق حالت قبل، نتایج آزمایش خزش نمونه های مسلح شده با مقادیر مختلف الیاف پارافایبر و حاوی صفر، پنجاه و ۱۵ صدرصد خرد آسفالت، به ترتیب در شکل های ۱۳، ۱۴ و ۱۵ و نتایج نمونه های فاقد الیاف در شکل ۱۶ ارائه شده است. طبق نتایج به دست آمده، با افزودن پارافایبر، عدد روانی مخلوط نیز افزایش می یابد که دلیل آن را می توان افزایش مقاومت بر Shi مخلوط آسفالتی به واسطه افزودن پارافایبر دانست. میزان تأثیر



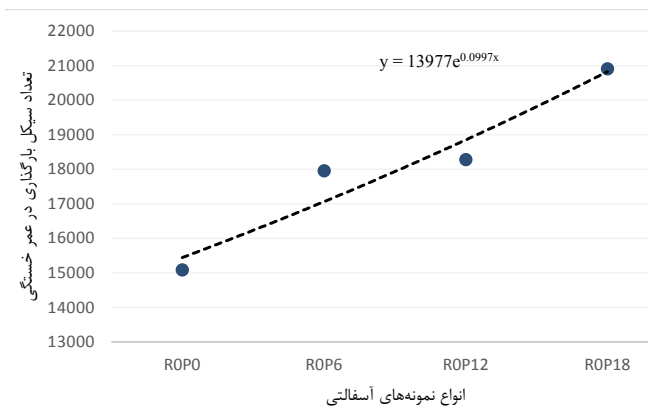
شکل ۱۵. نمودار نتایج مربوط به عدد روانی انواع نمونه های آسفالتی حاوی ۱۰۰٪ خرده آسفالت و حاوی مقادیر مختلف پارافایبر

Fig. 15. Diagram of results for the flow number of specimens containing 100% RAP and different amounts of Para-fiber



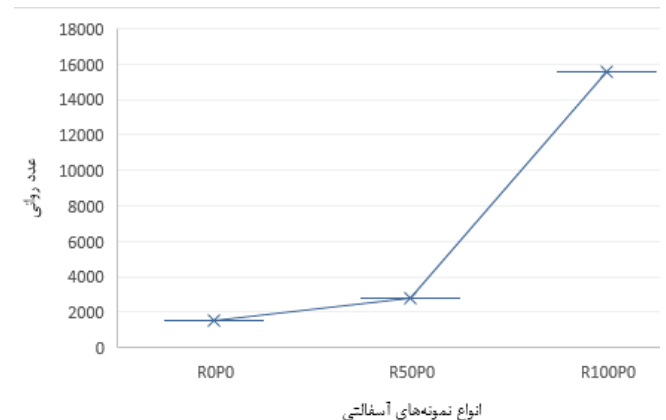
شکل ۱۴. نمودار نتایج مربوط به عدد روانی انواع نمونه های آسفالتی حاوی ۵۰٪ خرده آسفالت و حاوی مقادیر مختلف پارافایبر

Fig. 14. Diagram of results for the flow number of specimens containing 50% RAP and different amounts of Para-fiber



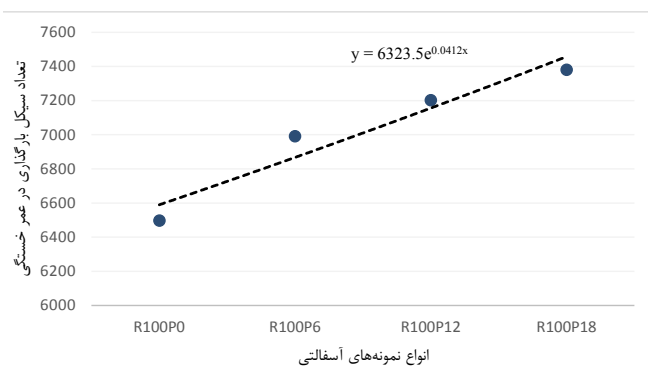
شکل ۱۷. نمودار نتایج مربوط به عمر خستگی انواع نمونه های آسفالتی فاقد خرده آسفالت و حاوی مقادیر مختلف پارافایبر

Fig. 17. Diagram of results for the fatigue life of specimens without RAP and containing different amounts of Para-fiber



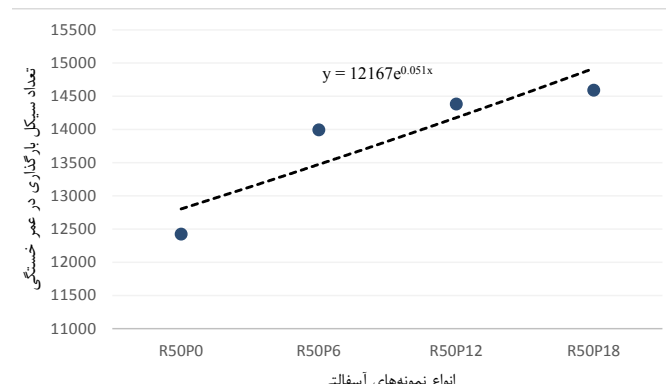
شکل ۱۶. نمودار نتایج مربوط به عدد روانی انواع نمونه های آسفالتی فاقد پارافایبر

Fig. 16. Diagram of results for the flow number of specimens without Para-fiber



شکل ۱۹: نمودار نتایج مربوط به عمر خستگی انواع نمونه های آسفالتی حاوی ۱۰۰٪ خرده آسفالت و حاوی مقادیر مختلف پارافایبر حاوی ۵۰٪ خرده آسفالت و حاوی مقادیر مختلف پارافایبر

Fig. 19. Diagram of results for the fatigue life of specimens containing 100% RAP and different amounts of Para-fiber



شکل ۱۸: نمودار نتایج مربوط به عمر خستگی انواع نمونه های آسفالتی حاوی ۵۰٪ خرده آسفالت و حاوی مقادیر مختلف پارافایبر

Fig. 18. Diagram of results for the fatigue life of specimens containing 50% RAP and different amounts of Para-fiber

جدول ۱۰. مقدار متوسط عدد روانی برای هریک از انواع مخلوط‌های آسفالتی
Table 10. Average amount of flow number for each type of asphalt mixture

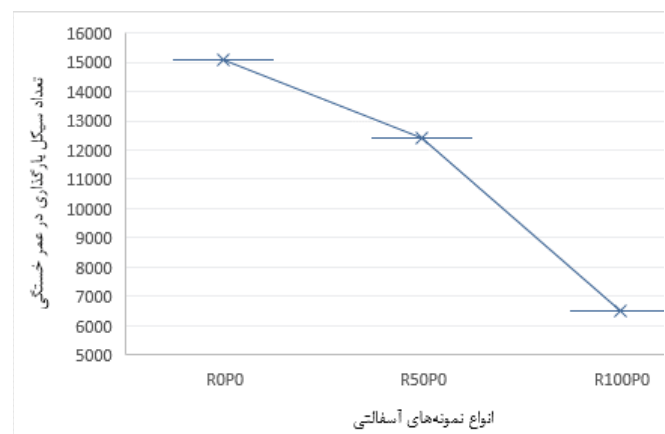
نوع مخلوط آسفالتی	عدد روانی
R0P0	۱۵۱۸
R0P6	۱۸۱۶
R0P12	۲۲۵۴
R0P18	۲۴۰۱
R50P0	۲۷۸۲
R50P6	۳۵۵۲
R50P12	۵۴۷۲
R50P18	۶۹۵۲
R100P0	۱۵۵۴۱
R100P6	۱۸۱۷۶
R100P12	۲۶۰۰۶
R100P18	۳۳۳۵۲

به واسطه افزودن خرده آسفالت باشد. بخصوص در مخلوط حاوی ۱۰۰٪ خرده آسفالت عمر خستگی بسیار کاهش یافته است. لذا می‌توان با اضافه کردن پارافایبر به مخلوط حاوی ۵۰٪ خرده آسفالت، بخش زیادی از این کاهش عمر خستگی را جبران کرد.

۷- نتیجه‌گیری

با توجه به ضرورت حفظ محیط‌زیست و تلاش برای کاهش آلودگی‌های زیست‌محیطی، در صنعت آسفالت نیز این موضوع بایستی برای طراحان مورد اهمیت بیشتری قرار گیرد. یکی از راهکارهای کاهش آلودگی‌های زیست‌محیطی در صنعت ساخت آسفالت، استفاده مجدد از آسفالت‌های قدیمی (بازیافت آسفالت) می‌باشد. همچنین استفاده از تکنولوژی آسفالت گرم و کاهش دمای ساخت آسفالت موجب کاهش مصرف سوخت و در نتیجه حفظ منابع انرژی و کاهش آلودگی ناشی از مصرف سوخت می‌گردد. در این پژوهش، مخلوط‌های آسفالتی با استفاده ترکیبی از دو تکنولوژی بازیافت آسفالت و آسفالت گرم، تولید گردید و عملکرد آن با آزمایش‌های شرح داده شده، مورد بررسی قرار گرفت. از افزودنی کائوواکس به مقدار ۲٪ وزن قیر جدیدی که به مخلوط اضافه می‌شود، به عنوان افزودنی گرم در ساخت نمونه‌ها استفاده شد. در ادامه خلاصه نتایج عملکرد نمونه‌های مختلف آورده شده است:

< اضافه کردن خرده آسفالت موجب می‌شود مدول برجهندگی مخلوط به مقدار قابل توجهی افزایش یابد که می‌تواند به دلیل بالا رفتن سختی مخلوط باشد. مشابه آن‌چه که در قسمت مرور بر پژوهش‌های



شکل ۲۰. نمودار نتایج مربوط به عمر خستگی انواع نمونه‌های آسفالتی فاقد پارافایبر

Fig. 20. Diagram of results for the fatigue life of specimens without Para-fiber

مقاومت کششی مخلوط آسفالتی به واسطه افزودن الیاف پارافایبر دانست. با بررسی نتایج مشخص است که میزان تأثیر پارافایبر بر عمر خستگی مخلوط، با افزایش مقدار خرده آسفالت، کاهش می‌یابد. به گونه‌ای که اضافه کردن پارافایبر به مخلوط بدون خرده آسفالت، تأثیر بیشتری را در افزایش عمر خستگی آسفالت نسبت به نمونه حاوی ۵۰٪ خرده آسفالت و حاوی ۱۰۰٪ خرده آسفالت دارد. در مخلوط‌های بدون خرده آسفالت، به ازای هر ۰/۰۶٪ افزودن پارافایبر، عمر خستگی بطور متوسط ۱۱/۷٪ افزایش می‌یابد. در مخلوط‌های حاوی ۵۰٪ و ۱۰۰٪ خرده آسفالت، به ازای هر ۰/۰۶٪ افزودن پارافایبر، عمر خستگی بطور متوسط به ترتیب ۰/۰۶٪ و ۰/۴٪ افزایش می‌یابد. نتایج نمونه‌های فاقد الیاف و با مقادیر مختلف خرده آسفالت در شکل ۲۰ ارائه شده است. با اضافه کردن خرده آسفالت، عمر خستگی مخلوط به شدت کاهش می‌یابد که می‌تواند به دلیل افزایش سختی مخلوط آسفالتی

جدول ۱۱. مقدار متوسط تعداد سیکل بارگذاری در عمر خستگی از انواع مخلوط‌های آسفالتی

Table 11. Average amount of number of load applications for fracture life for each type of asphalt mixture

نوع مخلوط آسفالتی	تعداد سیکل بارگذاری در عمر خستگی
R0P0	۱۵۰۸۳
R0P6	۱۷۹۵۲
R0P12	۱۸۲۷۶
R0P18	۲۰۹۰۵
R50P0	۱۲۴۲۴
R50P6	۱۳۹۹۴
R50P12	۱۴۳۸۲

مخلوط در برابر تغییر شکل دائمی، هرچه مقدار خرده آسفالت بیشتر شود مخلوط مقاوم تری حاصل می شود. اما با توجه به محدودیت مربوط به عمر خستگی آسفالت و کاهش شدید عمر خستگی در مخلوط حاوی ۱۰۰٪ خرده آسفالت، استفاده از مخلوط حاوی ۵٪ خرده آسفالت و افزودنی پارافایبر، مطلوب تر به نظر می رسد.

۸- سپاسگزاری

نویسنده‌گان لازم می دانند بدین وسیله از کارکنان محترم مرکز تحقیقات قیر و مخلوط‌های آسفالتی دانشگاه علم و صنعت ایران (ABRC) به دلیل همکاری صمیمانه، تشکر و قدردانی نمایند.

۹- مراجع

- [1] Almeida-costa, A. Benta, Economic and environmental impact study of warm mix asphalt compared to hot mix asphalt, *J. Clean. Prod.*, 112 (2016) 2308–2317.
- [2] Lopez, A. Gonzalez, G. Thenoux, G. Sandoval, J. Marcabal, Stabilized emulsions to produce warm asphalt mixtures with reclaimed asphalt pavements, *J. Clean. Prod.*, 209 (2019) 1461–1472.
- [3] Gillespie, quantifying the energy used in an asphalt coating plant, University of Strathclyde, 2012.
- [4] H. Yu, Z. Leng, Z. Zhou, K. Shih, F. Xiao, Optimization of preparation procedure of liquid warm mix additive modified asphalt rubber, *J. Clean. Prod.*, 141 (2017) 336–345.
- [5] G. Shiva Kumar, S.N. Suresha, State of the art review on mix design and mechanical properties of warm mix asphalt, *Road Mater. Pavement Des.* (2018).
- [6] Y. Sun, W. Wang, J. Chen, Investigating impacts of warm-mix asphalt technologies and high reclaimed asphalt pavement binder content on rutting and fatigue performance of asphalt binder through MSCR and LAS tests, *J. Clean. Prod.*, 219 (2019) 879–893.
- [7] Kheradmand, R. Muniandy, L.T. Hua, R.B. Yunus, A. Solouki, An overview of the emerging warm mix asphalt technology, *Int. J. Pavement Eng.*, (2013).
- [8] M.C. Rubio, G. Martínez, L. Baena, F. Moreno, Warm mix

پیشین در مرجع [۱۶] گفته شد، در این پژوهش نیز افزودن خرده آسفالت موجب افزایش مدول برجهندگی مخلوط گردید. همچنین افزودن پارافایبر به مخلوط نیز موجب افزایش مدول برجهندگی مخلوط می گردد که دلیل آن را می‌توان افزایش انعطاف‌پذیری مخلوط آسفالتی به واسطه افزودن پارافایبر دانست. در مخلوط‌های بدون خرده آسفالت، به ازای هر ۰/۰۶٪ افزودن پارافایبر، مقدار مدول برجهندگی به طور متوسط ۱۴/۶٪ افزایش می‌یابد. در مخلوط‌های حاوی ۵٪ و ۱۰۰٪ خرده آسفالت، به ازای هر ۰/۰۶٪ افزودن پارافایبر، مقدار مدول برجهندگی به طور متوسط ۳٪ افزایش می‌یابد.
 > افزودن خرده آسفالت موجب افزایش چشم‌گیر عدد روانی مخلوط می‌شود. به نظر می‌رسد افزودن خرده آسفالت، کاهش تغییر شکل‌های ماندگار را در آسفالت در پی خواهد داشت و به واسطه همین موضوع، عدد روانی افزایش می‌یابد. مشابه آن‌چه که در قسمت مرور بر پژوهش‌های پیشین در مرجع [۱۶] گفته شد، در این پژوهش نیز افزودن خرده آسفالت موجب بهبود مقاومت خزشی مخلوط گردید. همچنین با اضافه کردن پارافایبر نیز مقاومت آسفالت در برابر تغییر شکل دائمی، بهبود می‌یابد که دلیل آن را می‌توان افزایش مقاومت برشی مخلوط آسفالتی به واسطه افزودن پارافایبر دانست. در مخلوط‌های بدون خرده آسفالت، به ازای هر ۰/۰۶٪ افزودن پارافایبر، عدد روانی به طور متوسط ۸/۱۶٪ افزایش می‌یابد. در مخلوط‌های حاوی ۵٪ و ۱۰۰٪ خرده آسفالت، به ازای هر ۰/۰۶٪ افزودن پارافایبر، عدد روانی به طور متوسط به ترتیب ۳/۳۶٪ و ۴/۲۹٪ افزایش می‌یابد.
 > عمر خستگی آسفالت با اضافه شدن مقدار خرده آسفالت در مخلوط، کاهش می‌یابد که می‌تواند به دلیل افزایش سختی مخلوط آسفالتی باشد. اضافه کردن پارافایبر به آسفالت موجب بهبود عمر خستگی مخلوط می‌گردد و با افزودن پارافایبر به مخلوط حاوی ۵٪ خرده آسفالت می‌توان به مخلوط با عمر خستگی مطلوب دست پیدا کرد که دلیل آن را می‌توان افزایش مقاومت کششی مخلوط آسفالتی به واسطه افزودن پارافایبر دانست. در مخلوط‌های بدون خرده آسفالت، به ازای هر ۰/۰۶٪ افزودن پارافایبر، عمر خستگی به طور متوسط ۷/۱۱٪ افزایش می‌یابد. در مخلوط‌های حاوی ۵٪ و ۱۰۰٪ خرده آسفالت، به ازای هر ۰/۰۶٪ افزودن پارافایبر، عمر خستگی به طور متوسط به ترتیب ۶/۵٪ و ۴/۴٪ افزایش می‌یابد.
 > با توجه به تأثیر مثبت خرده آسفالت در بهبود مقاومت

- pavement, *J. Clean. Prod.*, 192 (2018) 191–198.
- [18] M.A. Franesqui, J. Yépes, C. García-Gonzalez, J. Gallego, Sustainable low-temperature asphalt mixtures with marginal porous volcanic aggregates and crumb rubber modified bitumen, *J. Clean. Prod.*, 207 (2019) 44–56.
- [19] K. Shabannezhad, M. Ameri, Laboratory evaluation of performance properties of warm mix recycled asphalt, Iran University of Science and Technology, 2012. (in Persian)
- [20] H. Behbahani, M.J. Ayazi, M.H. Shojaei, Laboratory Evaluation of Moisture Susceptibility and Rutting Potential of Warm Mix Asphalt, *J. Transp. Eng.*, Volume 7 (2016) 405–418. (in Persian)
- [21] A. Modares, M. Rahmanzadeh, Comparing the Effects of Coal Waste Filler and Pozzolanic Fillers on the Mechanical Properties of Hot Mix Asphalt, *J. Transp. Res.*, Volume 13 (2016) 86–103. (In Persian)
- [22] Technical Data Sheet Kaowax, (2017) www.kaochemicals-eu.com.
- [23] M.A. Esfahani, M.N. Jahromi, Optimum parafiber length according to mechanical properties in hot mix asphalt, *Road Mater. Pavement Des.* (2018).
- [24] M.F. Tafti, S.A.H. Aqda, H. Motamed, The impacts of type and proportion of five different asphalt modifiers on the low-temperature fracture toughness and fracture energy of modified HMA, *Des. Civ. Environ. Eng.*, 47 (2019) 169–185.
- [25] ASTM D2172 Standard Test Methods for Quantitative Extraction of Bitumen from Bituminous Paving Mixtures, 2017.
- [26] W. Zhao, F. Xiao, S.N. Amirkhanian, B.J. Putman, Characterization of rutting performance of warm additive modified asphalt mixtures, *Constr. Build. Mater.* 31 (2012) 265–272.
- [27] I.M. Asi, Performance evaluation of SUPERPAVE and Marshall asphalt mix designs to suite Jordan climatic and traffic conditions, asphalt: an overview, *J. Clean. Prod.*, 24 (2012) 76–84.
- [9] M. Zaumanis, J. Jansen, V. Haritonovs, J. Smirnovs, Development of calculation tool for assessing the energy demand of Warm Mix Asphalt, *Procedia - Soc. Behav. Sci.*, 48 (2012) 163–172.
- [10] S. Zhao, B. Huang, X. Shu, M. Woods, Comparative evaluation of warm mix asphalt containing high percentages of reclaimed asphalt pavement, *Constr. Build. Mater.* 44 (2013) 92–100.
- [11] R. West, C. Rodezno, G. Julian, B. Prowell, B. Frank, L. V. Osborn, and T. Kriech, NCHRP Report 779: Field Performance of Warm Mix Asphalt Technologies, *Transp. Res. Board Natl. Acad. Washingt.*, (2014).
- [12] J. D'Angelo, E. Harm, J. Bartoszek, G. Baumgardner, M. Corrigan, J. Cowser, T. Harman, M. Jamshidi, W. Jones, D. Newcomb, B. Prowell, R. Sines, Y. Bruce, Warm-Mix Asphalt: European Practice, (2008).
- [13] X. Yang, P.D. Lecturer, Z. You, D. Ph, P. E, M. Rosli, M. Hasan, P.D. Lecturer, A. Diab, P.D. Assistant, Environmental and mechanical performance of crumb rubber modified warm mix asphalt using Evotherm, *J. Clean. Prod.*, 159 (2017) 346–358.
- [14] A. González, J. Norambuena-contreras, L. Storey, E. Schlangen, Effect of RAP and fibers addition on asphalt mixtures with self-healing properties gained by microwave radiation heating, *Constr. Build. Mater.* 159 (2018) 164–174.
- [15] M. Mohajeri, Hot Mix Asphalt Recycling, Practices and Principles, Delft University of Technology, 2015.
- [16] M. Fakhri, S.A. Hosseini, Laboratory evaluation of rutting and moisture damage resistance of glass fiber modified warm mix asphalt incorporating high RAP proportion, *Constr. Build. Mater.* 134 (2017) 626–640.
- [17] W. Song, B. Huang, X. Shu, Influence of warm-mix asphalt technology and rejuvenator on performance of asphalt mixtures containing 50% reclaimed asphalt

- [31] P.M.O. Owende, A.M. Hartman, S.M. Ward, M.D. Gilchrist, M.J. O'Mahony, minimizing distress on flexible pavements using variable tire pressure, *J. Transp. Eng.*, 127 (2001) 254–262.
- [32] A.R. Azarhoosh, F. Moghadas Nejad, Evaluating Fatigue Life of Asphalt Mixtures Using Surface Free Energy Parameters, *Amirkabir J. Civ. Eng.*, 50 (2018). (in Persian)
- [33] BSI Standards Publication Bituminous mixtures — Test methods for hot mix asphalt Part 24: Resistance to fatigue, 2014.
- Constr. Build. Mater. 21 (2007) 1732–1740.
- [28] H. Ziari, H. Divandari, M. Hajiloo, A. Amini, Investigating the effect of amorphous carbon powder on the moisture sensitivity, fatigue performance and rutting resistance of rubberized asphalt concrete mixtures, *Constr. Build. Mater.* 217 (2019) 62–72.
- [29] M.W. Witczak, K. Kaloush, T. Pellinen, M. El-Basyouny, H. Von Quintus, NCHRP Reprot 465: Simple Performance Test for Superpave Mix Design, 2002.
- [30] H.R. Jahanian, G. Shafabakhsh, H. Divandari, Performance evaluation of Hot Mix Asphalt (HMA) containing bitumen modified with Gilsonite, *Constr. Build. Mater.* 131 (2017) 156–164.

برای ارجاع به این مقاله از عبارت زیر استفاده کنید:

H. Ziari, H. Divandari, M.Orouei, *Performance Evaluation of WMA Made with Reclaimed Asphalt Pavement and Para-Fiber*, *Amirkabir J. Civil Eng.*, 53(3) (2021) 977-994.

DOI: [10.22060/ceej.2019.16736.6323](https://doi.org/10.22060/ceej.2019.16736.6323)

